

黄花角蒿的化学成分研究

高燕萍¹, 钟国跃¹, 沈云亨^{2*}

1. 江西中医药大学 中药资源与民族药研究中心, 江西 南昌 330004

2. 第二军医大学药学院, 上海 200433

摘要: 目的 对黄花角蒿 *Incarvillea sinensis* var. *przewalskii* 全草的化学成分进行研究。方法 采用正相硅胶、凝胶 Sephadex LH-20 以及半制备高效液相色谱等多种色谱技术进行分离纯化, 运用 NMR、MS 等波谱学方法以及结合文献数据对分离得到的化合物进行结构鉴定。结果 从黄花角蒿全草 80%乙醇水溶液提取物中分离得到 13 个化合物, 包括生物碱和苯乙醇苷类化合物, 其结构分别鉴定为对丁氧基红景天昔 (1)、角蒿辛 C (2)、角蒿酯碱 (3)、7-羟基多花藤碱 (4)、角蒿原碱 (5)、苯乙醇葡萄糖苷 (6)、地黄昔 (7)、类叶升麻昔 (8)、去酰基异角胡麻昔 (9)、去咖啡酰基类叶升麻昔 (10)、carceorioside B (11)、红景天昔 (12)、去酰基类叶升麻昔二甲醚 (13)。结论 化合物 1 为新化合物, 其他化合物均为首次从该植物中分离得到。

关键词: 黄花角蒿; 生物碱; 苯乙醇苷; 对丁氧基红景天昔; 角蒿酯碱; 地黄昔; 类叶升麻昔

中图分类号: R284.1 文献标志码: A 文章编号: 0253-2670(2016)05-0712-05

DOI: 10.7501/j.issn.0253-2670.2016.05.003

Chemical constituents from *Incarvillea sinensis* var. *przewalskii*

GAO Yan-ping¹, ZHONG Guo-yue¹, SHEN Yun-heng²

1. Research Center of Natural Resources of Chinese Medicinal Materials and Ethnic Medicine, Jiangxi University of Traditional Chinese Medicine, Nanchang 330004, China

2. School of Pharmacy, Second Military Medical University, Shanghai 200433, China

Abstract: Objective To investigate the chemical constituents from the whole plant of *Incarvillea sinensis* var. *przewalskii*, and a systematically phytochemical investigation was carried out. **Methods** The chemical constituents were isolated by column chromatographies, such as silica gel and Sephadex LH-20 columns as well as semi-preparative HPLC, and their structures were determined on the basis of MS, NMR spectroscopic analyses, and/or comparison with literature data. **Results** Thirteen compounds, including alkaloids and phenylethanoid glycosides, were isolated from the 80% ethanol extract of the whole plants. Their structures were elucidated as *p*-butoxyl-salidroside (1), incasine C (2), incarvillateine (3), 7-hydroxyskytanthine (4), incarvilline (5), phenethylalcohol glucoside (6), martynoside (7), acteoside (8), deacylisomartynoside (9), decaffeoyleacteoside (10), carceorioside B (11), salidroside (12), and deacylacteoside dimethyl ether (13). **Conclusion** Compound 1 is a new one, and the other compounds are isolated from this species for the first time.

Key words: *Incarvillea sinensis* Lam. var. *przewalskii* (Batalin) C. Y. Wu et W. C. Yin; alkaloids; phenylethanoid glycosides; *p*-butoxyl-salidroside; incarvillateine; martynoside; acteoside

黄花角蒿 *Incarvillea sinensis* Lam. var. *przewalskii* (Batalin) C. Y. Wu et W. C. Yin 为紫葳科 (Bignoniaceae) 角蒿属 *Incarvillea* Juss. 多年生草本植物, 生于海拔 2 000~3 350 m 的高山草坡或混交林下, 我国主要分布在甘肃、陕西、青海、四川西北部^[1]。该植物具有祛风除湿、解毒、杀虫等功效,

甘肃民间将其根及根茎用于治疗咽炎, 效果较佳。然而, 有关该植物化学成分的研究尚未见报道。为了探讨该植物的药效物质基础, 本实验对其全草进行了提取分离, 鉴定得到了 13 个化合物, 分别为对丁氧基红景天昔 (*p*-butoxyl-salidroside, 1)、角蒿辛 C (incasine C, 2)、角蒿酯碱 (incarvillateine, 3)、

收稿日期: 2015-12-15

作者简介: 高燕萍, 江西中医药大学讲师。

*通信作者: 沈云亨, 博士, 硕士生导师。Tel: (021)81871245 E-mail: shenyunheng@hotmail.com

7-羟基多花藤碱(7-hydroxy-dehydroskyanthine, **4**)、角蒿原碱(incarvilline, **5**)、苯乙醇葡萄糖苷(phenethylalcohol glucoside, **6**)、地黄昔(martynoside, **7**)、类叶升麻昔(acteoside, **8**)、去酰基异角胡麻昔(deacylisomartynoside, **9**)、去咖啡酰基类叶升麻昔(decaffeoyleacteoside, **10**)、carceorioside B(**11**)、红景天昔(salidroside, **12**)、去酰基类叶升麻昔二甲醚(deacylacteoside dimethyl ether, **13**)。其中化合物**1**为新化合物,其他化合物均为首次从该植物中分离得到。

1 仪器与材料

RY-2型熔点仪(天津分析仪器厂); Bruker Vector 22红外光谱仪; SHIMADZU UV-2550紫外光谱仪; PerkinElmer Model 343旋光仪; Bruker DRX-300型、Bruker DRX-400型、Bruker DRX-600型核磁共振仪; Agilent MSD-Trap-XCT质谱仪; Q-Tof micro(ESI-MS)质谱仪; X-ray四圆单晶衍射仪(德国布鲁克APEX公司); SHIMADZU LC-2010AHT中压制备液相色谱仪; BUCHI C605。柱色谱填料: 硅胶H(200~300目),烟台芝罘黄务硅胶开发试验厂; Sephadex LH-20, Pharmacia公司; 反相硅胶C₁₈(50 μm),日本富士公司; HSGF254硅胶色谱板,烟台芝罘黄务硅胶开发试验厂; 反相硅胶板(Merk公司); 提取用乙醇为工业试剂,其余化学试剂均为分析纯; 液相色谱用试剂为色谱纯。

黄花角蒿全草于2010年采自青海西宁,经第二军医大学张汉明教授鉴定为紫葳科角蒿属植物黄花角蒿*Incarvillea sinensis* Lam. var. *przewalskii* (Batalin) C. Y. Wu et W. C. Yin。

2 提取与分离

将黄花角蒿全草10 kg用80%乙醇水溶液回流提取3次,回收乙醇,得到乙醇提取物802 g,加水混悬,5%HCl调pH值2~3,用石油醚、醋酸乙酯进行梯度萃取,得到石油醚部位45 g和醋酸乙酯部位156 g。水部分再加5%NaOH调pH值10~11,再用三氯甲烷萃取,分别得到总生物碱部位25 g和水层。将醋酸乙酯部位经常压硅胶柱色谱分离,石油醚-醋酸乙酯(100:1、50:1、30:1、10:1、5:1、1:1)梯度洗脱,得到10个流分Fr. 1~10。将Fr. 3(20.0 g)依次经过Sephadex LH-20(甲醇)和硅胶柱色谱分离,得到化合物**1**(15.0 mg)、**7**(60.0 mg)、**8**(23.0 mg)、**9**(9.0 mg)。将Fr. 6(13.0 g)经过ODS柱色谱,20%~100%甲醇梯度洗脱,得

到8个部分Fr. 6-1~6-8。将Fr. 6-3(195 mg)经Sephadex LH-20(甲醇)和硅胶柱色谱分离纯化,得到化合物**6**(7.0 mg)、**10**(59.0 mg)、**11**(9.1 mg)、**12**(11.5 mg)、**13**(9.0 mg)。总生物碱部位经ODS柱色谱,20%~100%甲醇梯度洗脱,得到6个部分Fr. 1~6。将Fr. 3(195 mg)经Sephadex LH-20(甲醇)和硅胶柱色谱分离纯化,得到化合物**2**(15.0 mg)、**3**(17.0 mg)、**4**(12.3 mg)、**5**(9.8 mg)。

3 结构鉴定

化合物**1**: 无色油状物,溶于甲醇。ESI-MS显示准分子离子峰为m/z 379 [M+Na]⁺, HR-ESI-MS m/z: 379.172 8 [M+Na]⁺(计算值C₁₈H₂₈O₇Na, 379.172 7),确定分子式为C₁₈H₂₈O₇,不饱和度为5,推测含有1个苯环片段。¹H-NMR(300 MHz, CD₃OD)谱低场区显示有1组对位取代苯环质子信号δ_H 6.81(2H, d, J=8.7 Hz), 7.15(2H, d, J=8.7 Hz), δ_H 3.00~4.50包含1个葡萄糖基质子信号,高场区有1个三重峰甲基信号δ_H 0.98(3H, t, J=7.5, 15.0 Hz); ¹³C-NMR(75 MHz, CD₃OD)谱给出18个碳信号,分别为1个甲基(δ 14.2)、6个亚甲基(δ 20.3, 32.5, 36.3, 62.7, 68.7, 72.0)、9个次甲基(δ 71.6, 75.1, 77.9, 78.1, 104.3, 115.4×2, 130.9×2)和2个季碳(δ 131.9, 159.1);以上数据和红景天昔^[2]的数据基本一致,仅多了1个正丁基片段信号。在¹H-¹H COSY谱中,H-1"/H-2"/H-3"/H-4"的相关信号证实了上述推论。在HMBC谱中,H-1"与C-4有相关,表明丁氧基与C-4位相连(图1)。综上推断化合物**1**的结构见图2,命名为对丁氧基红景天昔,具体核磁数据见表1。

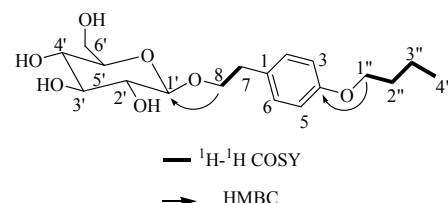


图1 化合物**1**的关键的¹H-¹H COSY和HMBC相关
Fig. 1 Key ¹H-¹H COSY and HMBC correlations of compound **1**

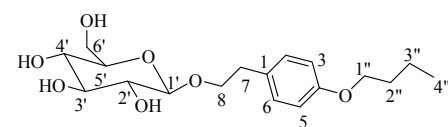


图2 化合物**1**的结构
Fig. 2 Structure of compound **1**

表 1 化合物 1 的 $^1\text{H-NMR}$ 和 $^{13}\text{C-NMR}$ 数据Table 1 $^1\text{H-NMR}$ and $^{13}\text{C-NMR}$ data of compound 1

碳位	δ_{C}	δ_{H}
1	131.9	
2	130.9	7.15 (d, $J = 8.7$ Hz)
3	115.4	6.81 (d, $J = 8.7$ Hz)
4	159.1	
5	115.4	6.81 (d, $J = 8.7$ Hz)
6	130.9	7.15 (d, $J = 8.7$ Hz)
7	36.3	2.86 (t, $J = 6.6, 13.2$ Hz)
8	72.0	3.69 (m), 4.05 (m)
1'	104.3	4.29 (d, $J = 7.8$ Hz)
2'	75.1	3.18 (m)
3'	78.1	3.35 (m)
4'	71.6	3.27 (m)
5'	77.9	3.26 (m)
6'	62.7	3.68 (t, $J = 12.0, 1.8$ Hz) 3.86 (t, $J = 12.0, 1.8$ Hz)
1''	68.7	3.93 (t, $J = 13.2, 6.6$ Hz)
2''	32.5	1.73 (m)
3''	20.3	1.49 (m)
4''	14.2	0.98 (t, $J = 7.5, 15.0$ Hz)

化合物 2: 无色油状物, ESI-MS 给出分子离子峰为 m/z 475 [$\text{M}+\text{H}]^+$, 473 [$\text{M}-\text{H}]^-$, 相对分子质量为 474。碘化铋钾显色呈阳性。结合 ^1H - 和 $^{13}\text{C-NMR}$ 谱, 推断分子式为 $\text{C}_{29}\text{H}_{38}\text{N}_4\text{O}_2$ 。分析该化合物的 $^{13}\text{C-NMR}$ 谱和 DEPT 谱, 发现该化合物具有典型的大环精胺类生物碱的信号特征, $^1\text{H-NMR}$ (600 MHz, CDCl_3) 谱低场区显示有 1 组双取代烯氢质子信号 δ 6.07 (1H, d, $J = 12.8$ Hz), 6.62 (1H, d, $J = 12.8$ Hz), 10 个芳氢质子信号 δ 7.25~7.39 (10H, m), 高场区有 22 个亚甲基信号 δ 1.57~2.07 (8H, m), 2.44~3.76 (14H, m), 以及 1 个次甲基信号 δ_{H} 4.08 (1H, m); $^{13}\text{C-NMR}$ (150 MHz, CDCl_3) δ : 24.5, 24.7, 24.9, 25.2, 26.8, 28.6, 28.7 (C-3, 11, 15, 16), 36.7, 37.8, 42.6, 43.1, 45.0, 46.9, 47.0, 47.2, 47.3, 48.3, 50.3, 50.4 (C-2, 4, 7, 10, 12, 14, 17), 64.0 (C-8), 123.5, 123.6 (C-8'), 126.9, 127.1, 127.6, 127.8, 127.9, 128.0, 128.3, 128.4, 128.5, 128.6, 128.8, 128.9 (C-2', 3', 4', 5', 6', 2'', 3'', 4'', 5'', 6''), 133.3, 133.4 (C-7'), 135.3, 135.4 (C-1'), 140.8, 141.3 (C-1''), 169.8, 170.0 (C-9'), 171.4, 171.5 (C-6)。以上核磁数据与文献报道基本一致^[3], 故鉴定化合物 2 为角蒿辛 C。

化合物 3: 无色油状物, ESI-MS 给出分子离子峰为 m/z 719 [$\text{M}+\text{H}]^+$, 717 [$\text{M}-\text{H}]^-$, 相对分子质量为 718。碘化铋钾显色呈阳性。结合 ^1H - 和 $^{13}\text{C-NMR}$

谱, 推断分子式为 $\text{C}_{42}\text{H}_{58}\text{N}_2\text{O}_8$ 。 $^1\text{H-NMR}$ (600 MHz, CDCl_3) 谱低场区显示有 6 个芳氢质子信号 δ_{H} 6.78~6.83 (6H, m), 高场区有 4 个双峰甲基质子信号 δ 0.60 (3H, d, $J = 7.2$ Hz), 0.72 (3H, d, $J = 6.8$ Hz), 0.76 (3H, d, $J = 6.8$ Hz), 0.81 (3H, d, $J = 7.6$ Hz), 2 个单峰甲基质子信号 δ 3.87 (3H, s), 3.89 (3H, s), 其他质子信号处于相对较高场; $^{13}\text{C-NMR}$ (150 MHz, CDCl_3) 谱显示有 2 个单萜生物碱片段 δ : 14.4 (4-Me), 14.9 (4'-Me), 16.9 (8-Me), 17.1 (8'-Me), 29.2 (C-6), 29.7 (C-6'), 30.3 (C-4, 4'), 37.3 (C-5), 37.4 (C-5'), 40.4 (C-8, 8'), 45.8 (N-Me), 45.9 (N'-Me), 46.1 (C-9, 9'), 57.2 (C-1), 57.3 (C-1'), 57.5 (C-3), 57.6 (C-3'), 76.4 (C-7), 76.6 (C-7'); 2 个 $\text{C}_6\text{-C}_3$ 片段碳信号 δ : 130.5 (C-1''), 130.7 (C-1'''), 110.8 (C-2'', 2'''), 145.1 (C-3''), 145.3 (C-3'''), 146.7 (C-4'', 4'''), 114.6 (C-5'', 5'''), 119.9 (C-6''), 120.4 (C-6'''), 41.2 (C-7''), 41.8 (C-7'''), 47.3 (C-8''), 47.9 (C-8'''), 171.7 (C-9''), 171.9 (C-9'''); 以及 2 个甲氧基碳信号 55.8 (3'', 3'''-OMe)。以上数据与文献报道基本一致^[4], 故鉴定化合物 3 为角蒿酯碱。

化合物 4: 无色油状物, ESI-MS 给出准分子离子峰为 m/z 204 [$\text{M}+\text{Na}]^+$, 180 [$\text{M}-\text{H}]^-$, 相对分子质量为 181。碘化铋钾显色呈阳性。结合 ^1H - 和 $^{13}\text{C-NMR}$ 谱, 推断分子式为 $\text{C}_{11}\text{H}_{19}\text{NO}$ 。 $^1\text{H-NMR}$ (600 MHz, CDCl_3) 谱信号显示有 1 个烯质子信号 δ 5.30 (1H, d, $J = 2.0$ Hz), 1 个氧取代的次甲基质子信号 δ 4.31 (1H, m), 2 个双峰甲基质子信号 δ 0.99 (3H, d, $J = 8.0$ Hz), 1.11 (3H, d, $J = 8.0$ Hz) 以及 1 个单峰甲基质子信号 δ 2.23 (3H, s, N-Me); $^{13}\text{C-NMR}$ 谱 (150 MHz, CDCl_3) 显示有 3 个甲基 δ 15.1 (C-10), 17.2 (C-11), 48.2 (N-Me), 2 个亚甲基 δ 63.7, 63.7 (C-1, 3), 5 个次甲基 δ 32.2 (C-4), 48.1 (C-8), 50.1 (C-9), 84.3 (C-7), 123.3 (C-6) 以及 1 个季碳 δ 149.7 (C-5) 信号。以上数据与文献报道基本一致^[5], 故鉴定化合物 4 为 7-羟基多花藤碱。

化合物 5: 无色晶体, ESI-MS 给出分子离子峰为 m/z 184 [$\text{M}+\text{H}]^+$, 182 [$\text{M}-\text{H}]^-$, 相对分子质量为 183。碘化铋钾显色呈阳性。结合 ^1H - 和 $^{13}\text{C-NMR}$ 谱, 推断分子式为 $\text{C}_{11}\text{H}_{21}\text{NO}$ 。 $^1\text{H-NMR}$ (600 MHz, CDCl_3) 谱信号显示有 1 个氧取代的次甲基质子信号 δ 4.31 (1H, m), 2 个双峰甲基质子信号 δ 0.86 (3H, d, $J = 8.0$ Hz), 1.02 (3H, d, $J = 8.0$ Hz) 以及 1 个单峰甲基质子信号 δ 2.27 (3H, s); $^{13}\text{C-NMR}$ (150

MHz, CDCl₃) 谱显示有3个甲基 δ : 14.2(C-10), 17.4(C-11), 46.2(N-Me), 3个亚甲基 δ : 32.7(C-6), 58.0, 58.0(C-1, 3)和5个次甲基 δ : 30.5(C-4), 37.5(C-5), 42.3(C-8), 45.8(C-9), 73.4(C-7)。以上数据与文献报道基本一致^[6], 故鉴定化合物**5**为角蒿原碱。

化合物6:无色油状物, Molish反应为阳性。ESI-MS给出分子离子峰为m/z 307 [M+Na]⁺, 283 [M-H]⁻, 推出相对分子质量为284, 结合¹H- 和¹³C-NMR谱, 推出分子式为C₁₄H₂₀O₆, 不饱和度为5。¹³C-NMR(150 MHz, CD₃OD)和DEPT谱给出1个季碳信号 δ 140.1(C-1), 10个次甲基碳信号 δ 130.0×2(C-2, 6), 129.3×2(C-3, 5), 127.2(C-4), 104.4(C-1'), 79.1(C-3'), 78.0(C-5'), 75.1(C-2'), 71.7(C-4')和3个亚甲基碳信号 δ : 71.1(C-8), 62.8(C-6'), 37.2(C-7)。¹H-NMR(600 MHz, CD₃OD)谱低场区给出5个芳香质子信号, δ 4.29(1H, d, J =6.0 Hz)为葡萄糖端基质子信号。以上数据与文献报道基本一致^[7], 故鉴定化合物**6**为苯乙醇葡萄糖苷。

化合物7:淡黄色油状物, Molish反应为阳性。ESI-MS给出分子离子峰为m/z 675 [M+Na]⁺, 651 [M-H]⁻, 推出相对分子质量为652。结合¹H- 和¹³C-NMR谱推出分子式为C₃₁H₄₀O₁₅, 不饱和度为12。¹H-NMR(600 MHz, CD₃OD)谱中有1对相互耦合的烯质子信号 δ 7.61(1H, d, J =15.9 Hz)和6.38(1H, d, J =15.9 Hz), 2组ABX耦合芳质子信号 δ 7.14(1H, d, J =1.8 Hz), 7.00(1H, dd, J =8.1, 1.8 Hz), 6.78(1H, d, J =8.1 Hz); 6.68(1H, d, J =2.1 Hz), 6.65(1H, d, J =8.4 Hz), 6.61(1H, dd, J =8.4, 2.1 Hz), 5.17(1H, d, J =1.2 Hz), 4.32(1H, d, J =8.1 Hz)分别为鼠李糖和葡萄糖的端基质子信号, δ 3.85(s), 3.73(s)为2个甲氧基质子信号, δ 2.79(t, J =7.5 Hz)为1个亚甲基质子信号, δ 1.24(3H, d, J =7.5 Hz)为鼠李糖甲基氢信号。¹³C-NMR(150 MHz, CD₃OD)谱给出31个碳信号, 包括1个C₆-C₂片段碳信号 δ 131.5(C-1), 116.7(C-2), 146.8(C-3), 146.5(C-4), 112.8(C-5), 119.8(C-6), 35.4(C-7), 70.5(C-8); 1个C₆-C₃片段碳信号 δ 127.1(C-1'), 115.2(C-2'), 146.8(C-3'), 149.8(C-4'), 116.5(C-5'), 123.2(C-6'), 148.0(C-7'), 114.7(C-8'), 170.6(C-9'); 1组葡萄糖基碳信号 δ 104.9, 76.2, 84.5, 71.0, 75.9, 65.2; 1组鼠李糖基碳信号 δ 103.2, 72.8, 72.8, 74.5, 70.5, 18.4和2个-OCH₃碳信号 δ 56.9。以上数据与文献报道一致^[8], 故鉴定化合物**7**为地黄苷。

化合物8:黄色无定形粉末, Molish反应为阳性。ESI-MS给出准分子离子峰为m/z 647 [M+Na]⁺, 623 [M-H]⁻, 推出相对分子质量为624, 结合¹H- 和¹³C-NMR谱, 推出分子式为C₂₉H₃₆O₁₅, 不饱和度为12。¹H-NMR(600 MHz, CD₃OD)谱给出2个烯烃质子信号 δ 7.58(1H, d, J =15.6 Hz)和6.31(1H, d, J =15.9 Hz); 6个芳香质子信号 δ 6.54~7.06(6H, m), δ 5.21(1H, s)和4.35(1H, d, J =7.5 Hz)分别为鼠李糖和葡萄糖的端基质子信号; 鼠李糖基的甲基质子信号 δ 1.26(3H, d, J =6.0 Hz)。¹³C-NMR(150 MHz, CD₃OD)谱给出29个碳信号, 包括1个C₆-C₂片段碳信号 δ 131.5(C-1), 116.7(C-2), 146.8(C-3), 146.5(C-4), 112.8(C-5), 119.8(C-6), 35.4(C-7), 70.5(C-8); 1个C₆-C₃片段碳信号 δ 127.1(C-1'), 115.2(C-2'), 146.8(C-3'), 149.8(C-4'), 116.5(C-5'), 123.2(C-6'), 148.0(C-7'), 114.7(C-8'), 168.3(C-9'); 1组葡萄糖基碳信号 δ 104.2, 76.2, 81.6, 70.6, 76.0, 62.3; 1组鼠李糖基碳信号 δ 103.0, 72.3, 72.3, 73.8, 70.4, 18.4。以上数据与文献报道一致^[9], 故鉴定化合物**8**为类叶升麻苷。

化合物9:无色油状物, 溶于甲醇, Molish反应阳性。ESI-MS给出准分子离子峰为m/z 499 [M+Na]⁺, 475 [M-H]⁻, 推出相对分子质量为476, 结合¹H- 和¹³C-NMR谱, 推出分子式为C₂₁H₃₂O₁₂, 不饱和度为6。¹H-NMR(600 MHz, CD₃OD)谱低场显示有3个芳香质子信号 δ 6.82(1H, d, J =9.0 Hz), 6.73(1H, d, J =3.0 Hz), 6.68(1H, dd, J =9.0, 3.0 Hz); δ 5.16(1H, d, J =1.8 Hz), 4.30(1H, d, J =9.0 Hz)为2个糖端基质子信号, δ 1.25(d, J =6.0 Hz)为鼠李糖甲基质子信号;¹³C-NMR(150 MHz, CD₃OD)和DEPT谱显示有1个C₆-C₂片段碳信号 δ 131.5(C-1), 117.1(C-2), 144.7(C-3), 146.1(C-4), 116.3(C-5), 121.3(C-6), 36.6(C-7), 72.1(C-8); 1组葡萄糖基碳信号 δ 102.8, 79.6, 75.0, 70.5, 75.1, 61.2; 1组鼠李糖基碳信号 δ 101.7, 71.0, 70.8, 72.1, 69.2, 18.6和1个甲氧基碳信号 δ 55.0。以上数据与文献报道一致^[10], 故鉴定化合物**9**为去酰基异角胡麻苷。

化合物10:无色油状物, Molish反应呈阳性。ESI-MS给出准分子离子峰为m/z 485 [M+Na]⁺, 461 [M-H]⁻, 推出相对分子质量为462, 结合¹H- 和¹³C-NMR谱, 推出分子式为C₂₀H₃₀O₁₂, 不饱和度为6。¹H-NMR(600 MHz, CD₃OD)谱低场区 δ 6.50~6.75有3个芳质子信号, δ 5.15(1H, d, J =1.5

Hz) 和 δ 4.29 (1H, d, $J = 6.0$ Hz) 为 2 个糖端基质子信号, δ 1.24 (d, $J = 6.0$ Hz) 为鼠李糖甲基质子信号; ^{13}C -NMR (150 MHz, CD₃OD) 和 DEPT 谱显示有 1 个 C₆-C₂ 片段碳信号 δ 134.4 (C-1), 119.1 (C-2), 146.8 (C-3), 150.6 (C-4), 119.6 (C-5), 124.1 (C-6), 37.3 (C-7), 73.2 (C-8); 1 组葡萄糖基碳信号 δ 104.8, 76.6, 85.1, 70.9, 78.8, 63.6; 1 组鼠李糖基碳信号 δ 103.9, 73.1, 73.8, 74.9, 70.9, 19.3。以上数据与文献报道一致^[11], 故鉴定化合物 **10** 为去咖啡酰基类叶升麻昔。

化合物 11: 无色油状物, Molish 反应阳性。ESI-MS 给出准分子离子峰为 m/z 501 [M+Na]⁺, 477 [M-H]⁻, 推出相对分子质量为 478, 结合¹H- 和¹³C-NMR 谱, 推出分子式为 C₂₃H₂₆O₁₁, 不饱和度为 11。¹H-NMR (600 MHz, CD₃OD) 谱低场区 δ 7.55 (1H, d, $J = 18.0$ Hz) 和 6.28 (1H, d, $J = 18.0$ Hz) 为 2 个取代反式烯质子信号, δ 6.50~7.10 有 6 个苯环质子信号, δ 4.32 (1H, d, $J = 9.0$ Hz) 为葡萄糖端基质子信号; ^{13}C -NMR (150 MHz, CD₃OD) 和 DEPT 谱显示有 1 个 C₆-C₂ 片段碳信号 δ 132.0 (C-1), 116.8 (C-2), 146.2 (C-3), 145.1 (C-4), 119.1 (C-5), 121.8 (C-6), 37.1 (C-7), 72.7 (C-8); 1 个 C₆-C₃ 片段碳信号 δ 128.7 (C-1'), 116.3 (C-2'), 146.6 (C-3'), 148.8 (C-4'), 117.6 (C-5'), 125.6 (C-6'), 145.8 (C-7'), 116.8 (C-8'), 167.9 (C-9') 以及 1 组葡萄糖基碳信号 δ 104.9, 75.6, 78.5, 72.4, 75.8, 65.1。以上数据与文献报道一致^[12], 故鉴定化合物 **11** 为 carceorioside B。

化合物 12: 白色无定形粉末, Molish 反应呈阳性。ESI-MS 给出准分子离子峰为 m/z 323 [M+Na]⁺, 299 [M-H]⁻, 推出相对分子质量为 300, 结合¹H- 和¹³C-NMR 谱, 推出分子式为 C₁₄H₂₀O₇, 不饱和度为 5。¹H-NMR (600 MHz, CD₃OD) 谱低场区 δ 7.05 (2H, d, $J = 9.0$ Hz) 和 6.69 (2H, d, $J = 9.0$ Hz) 为芳环对位取代信号, δ 4.29 (1H, d, $J = 6.0$ Hz) 为糖的端基质子信号; ^{13}C -NMR (150 MHz, CD₃OD) 和 DEPT 谱显示有 1 个 C₆-C₂ 片段碳信号 δ 130.7 (C-1), 130.9 (C-2, 6), 116.1 (C-3, 5), 156.7 (C-4), 36.3 (C-7), 71.6 (C-8) 以及 1 组葡萄糖基碳信号 δ 104.3, 75.1, 78.1, 72.1, 77.9, 62.7。以上数据与文献报道一致^[2], 故鉴定化合物 **12** 为红景天昔。

化合物 13: 无色油状物, Molish 反应阳性。ESI-MS 给出准分子离子峰为 m/z 513 [M+Na]⁺, 489 [M-H]⁻, 推出相对分子质量为 490, 结合¹H- 和¹³C-NMR 谱, 推出分子式为 C₂₂H₃₄O₁₂, 不饱和

度为 6。¹H-NMR (600 MHz, CD₃OD) 谱低场区有 1 组 ABX 耦合芳质子信号 δ 6.85 (1H, d, $J = 8.2$ Hz), 6.89 (1H, d, $J = 1.9$ Hz), 6.78 (1H, dd, $J = 8.2, 1.9$ Hz), δ 5.14 (1H, d, $J = 1.5$ Hz) 和 4.30 (1H, d, $J = 7.8$ Hz) 为 2 个糖端基质子信号, δ 1.23 (3H, d, $J = 6.0$ Hz) 为鼠李糖甲基质子信号, δ 3.77 (3H, s), 3.80 (3H, s) 为甲氧基质子信号; ^{13}C -NMR (150 MHz, CD₃OD) 和 DEPT 谱显示有 1 个 1,2,4-三取代苯环碳信号 δ 133.1 (C-1), 113.2 (C-2), 150.2 (C-3), 148.9 (C-4), 114.2 (C-5), 122.2 (C-6), 2 个糖碳信号 δ 104.1 (C-1'), 75.4 (C-2'), 84.5 (C-3'), 70.2 (C-4'), 77.7 (C-5'), 62.6 (C-6'), 102.7 (C-1''), 71.7 (C-2''), 72.2 (C-3''), 73.9 (C-4''), 70.0 (C-5''), 17.7 (C-6''), 2 个亚甲基碳信号 δ 36.6 (C-7), 71.7 (C-8) 和 2 个甲氧基碳 δ 56.5 信号, 与文献报道的去酰基类叶升麻昔的数据基本一致^[11], 只是多了 2 个甲氧基碳信号, 综合以上数据, 鉴定化合物 **13** 为去酰基类叶升麻昔二甲醚。

参考文献

- 中国科学院中国植物志编辑委员会. 中国植物志 [M]. 北京: 科学出版社, 1999.
- 吴少雄, 郭亚东, 郭祀远, 等. 大花红景天乙醇提取物的化学成分研究 [J]. 现代食品科技, 2008, 24(4): 322-323.
- Chi Y M, Hashimoto F, Yan W M, et al. Five novel macrocyclic spermine alkaloids from *Incarvillea sinensis* [J]. *Tetrahedron Lett*, 1997, 38(15): 2713-2716.
- Chi Y M, Hashimoto F, Yan W M, et al. Four novel monoterpene alkaloid derivatives from *Incarvillea sinensis* [J]. *Phytochemistry*, 1997, 46(4): 763-769.
- Lins A P, Felicio J D. Monoterpene alkaloids from *Tecoma stans* [J]. *Phytochemistry*, 1993, 34(3): 876-878.
- Chi Y M, Yan W M, Chen D C, et al. A monoterpene alkaloid from *Incarvillea sinensi* [J]. *Phytochemistry*, 1992, 31: 2930-2932.
- Kurashima K, Fujii M, Ida Y, et al. Simple synthesis of β -D-glycopyranosides using β -glycosidase from almonds [J]. *Chem Pharm Bull*, 2004, 52(2): 270-275.
- 刘彦飞, 梁东, 罗桓, 等. 地黄的化学成分研究 [J]. 中草药, 2014, 45(1): 16-22.
- Kanchanapoom T, Kasai R, Yamasaki K. Phenolic glycosides from *Barnettia kerrii* [J]. *Phytochemistry*, 2002, 59(5): 565-570.
- Ihsan C, Mohamed F L, Erich R, et al. Isomartynoside, a phenylpropanoid glycoside from *Galeopsis pubescens* [J]. *Phytochemistry*, 1984, 23(10): 2313-2315.
- Karasawa H, Kobayashi H, Takizawa N, et al. Studies on the constituents of *Cistachis* herba. Isolation and structures of cistanosides H and I [J]. *Yakugaku Zasshi*, 1986, 106(3): 562-566.
- Shimomura H, Sashida Y, Adachi T. Phenolic glucosides from *Prunus grayana* [J]. *Phytochemistry*, 1987, 26 (1): 249-251.